

Если теперь потребовать, чтобы погрешность в $\text{div } q$, вследствие использования приближения плоских слоев, не превосходила по порядку величины погрешности, допускаемой в уравнении энергии в теории пограничного слоя, то условие применимости приближения плоских слоев для рассматриваемого случая будет

$$\begin{aligned} \kappa l \left\{ e^{-\kappa l} [1 - E_2(\kappa l)] + \frac{2}{\pi} E_2(\kappa l) \right\} - (\kappa l + 1) e^{-\kappa l} + \frac{2 - (\kappa \delta + 2) e^{-\kappa l}}{\kappa \delta} &\leq \\ &\leq \frac{\rho_* u_* c_{p*} (T_2 - T_1) \delta}{2\sigma (T_2^4 - T_1^4)} \frac{\delta}{l} \end{aligned} \quad (5)$$

Величины, отмеченные звездочкой, — характерные значения параметров.

На фиг. 2 приведена кривая, полученная при знаке равенства в (5), для $\delta/l = 0.01$.

По оси абсцисс отложено $\mu = \lg \kappa l$; по оси ординат

$$\varepsilon = \lg \frac{\rho_* u_* c_{p*} (T_2 - T_1)}{2\sigma (T_2^4 - T_1^4)}$$

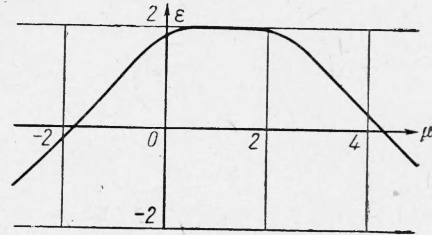
Выше этой кривой находится область применимости приближения плоских слоев.

Кривая имеет асимптоту

$$\varepsilon = -\mu + \lg [2(l/\delta)^2] \quad \text{при } \mu \rightarrow +\infty$$

асимптоту

$$\varepsilon = \mu + \lg (2l/\pi\delta) \quad \text{при } \mu \rightarrow -\infty$$



Фиг. 2

Как видно, существует значение ε , при больших значениях которого в пограничном слое для излучения справедливо приближение плоских слоев для любых значений κl . При $\delta/l > 0.01$ кривая будет лежать ниже, и область максимума будет уже.

Следует отметить, что в реальных задачах область излучающе-поглощающего газа конечна, и полученная здесь оценка в прозрачном случае может оказаться неприемлемой.

В заключение благодарю А. Т. Онуфриева и Ю. Д. Шмыглевского за полезное обсуждение работы.

Поступила 28 VIII 1964

ЛИТЕРАТУРА

1. Павлова Л. М., Шмыглевский Ю. Д. О пограничном слое в излучающем газе. ПМТФ, 1964, № 1.

О КРИТЕРИЯХ ВЫПУЧИВАНИЯ В УСЛОВИЯХ ПОЛЗУЧЕСТИ

В. И. Ванько

(Новосибирск)

При изучении выпучивания стержней при ползучести за критерий «потери устойчивости» обычно принимается какая-то характерная особенность кривой прогиб — время. Например, обращение прогиба в бесконечность при конечном времени [1], точка минимума [2], точка перегиба [3, 4], обращение скорости прогиба в бесконечность [5, 6].

В настоящей работе на примере упруго-пластического стержня (модель Шэнли фиг. 1) выясняется качественный характер процессов выпучивания в зависимости от уровня нагрузки.

1. Рассматриваем упруго-пластический материал с линейным упрочнением (фиг. 2).

Все линейные величины будем относить к $1/2h$; индексы 1, 2 обозначают величины, относящиеся к первому или ко второму стерженькам соответственно; точка сверху обозначает дифференцирование по времени t ; за положительные приняты сжимающие напряжения, нагрузки и деформации сжатия; E — модуль Юнга; E_t — касательный модуль, принятый постоянным; $\sigma = P/F$, где F — суммарная площадь сечения стерженьков; все напряжения отнесены к Эйлерову напряжению $\sigma_s = Eh/4L$.

Для простоты примем степенной закон ползучести с нечетным показателем. Тогда скорости деформаций ε_1 и ε_2 в стерженьках выразятся зависимостями

$$\varepsilon_i = \frac{\sigma_i}{E} + k_i \frac{\sigma_i}{\mu} + \left(\frac{\sigma_i}{\lambda} \right)^n \quad (i=1, 2), \quad \left(\mu = \frac{EF_t}{E - E_t} \right) \quad (1.1)$$

В равенствах (1.4)

$$k_i = \begin{cases} 0 & (|\sigma_i| < \sigma_*) \\ 1 & (\sigma_i \sigma_i' > 0, |\sigma_i| > \sigma_*) \\ 0 & (\sigma_i \sigma_i' < 0, |\sigma_i| > \sigma_*) \end{cases}$$

Здесь σ_* — предел текучести.

Имеем уравнения равновесия и совместности скоростей деформаций модели Шэнли [7]

$$\sigma_1 + \sigma_2 = 2\sigma, \quad \sigma_1 - \sigma_2 = 2\sigma w, \quad \varepsilon_1' - \varepsilon_2' = \gamma w' \quad (w(t) \equiv u_0 + u(t)) \quad (1.2)$$

Отсюда

$$\sigma_1 = \sigma(1+w), \quad \sigma_2 = \sigma(1-w) \quad (1.3)$$

Из уравнений (1.4), (1.3) и третьего уравнения системы (1.2) получим

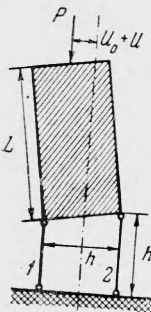
$$\begin{aligned} \sigma w \{1 + \alpha(k_1 + k_2)\} + \sigma' \alpha(k_1 - k_2) + \frac{1}{\gamma} \left(\frac{E}{\lambda}\right)^n \sigma^n \{(1+w)^n - (1-w)^n\} = \\ = w' \{1 - \sigma[1 + \alpha(k_1 + k_2)]\} \end{aligned} \quad (1.4)$$

$$w = w_0 \quad \text{при } \sigma = 0$$

Здесь

$$\left(\alpha = \frac{E}{2\mu} = \frac{1 - \sigma_t}{2\sigma_t}, \quad \sigma_t = \frac{E_t}{E}, \quad \gamma = \frac{h}{2L} \right)$$

Здесь σ_t — напряжение по касательному модулю. При монотонно возрастающих нагрузках фигурная скобка в правой части является убывающей функцией, имеющей при упруго-пластических деформациях вид



$$1 - \sigma \left[1 + \frac{1 - \sigma_t}{2\sigma_t} \right] \geq 0 \quad (k_1 = 1, k_2 = 0) \quad (1.5)$$

или

$$1 - \sigma \left[1 + \frac{1 - \sigma_t}{\sigma_t} \right] \geq 0 \quad (k_1 = k_2 = 1) \quad (1.6)$$

причем (1.5) принимает нулевое значение при $\sigma = \sigma_*$, а (1.6) обращается в нуль при $\sigma = \sigma_t$. Считаем, что начальная неправильность положительна, тогда, очевидно, $\text{sgn } w = \text{sgn } w_0$.

Условимся говорить, что квазистатическая постановка корректна, если решение (1.4) имеет характер $w > 0, \infty > W \geq 0$.

2. Под мгновенным нагружением понимаем нагружение, скорость которого σ' такова, что ползучесть за время достижения нагрузкой максимального значения не успевает проявиться, однако динамическими эффектами можно пренебречь [8]. Имеем уравнение упруго-пластического продольного изгиба

$$\begin{aligned} \sigma w \{1 + \alpha(k_1 + k_2)\} + \sigma' \alpha(k_1 - k_2) = w' \{1 - \sigma[1 + \alpha(k_1 + k_2)]\} \\ w = w_0 \quad \text{при } \sigma = 0 \end{aligned} \quad (2.1)$$

Время не играет существенной роли в квазистатических упруго-пластических процессах, так как дифференциал dt может быть исключен из уравнения. Нетрудно также показать, что из (2.1) при соответствующих предпосылках относительно начального прогиба и характера нагружения можно в весьма компактной форме получить все известные результаты [9-11].

Рассмотрим последовательные этапы нагружения.

1) Пусть $\sigma_i < \sigma_*$; тогда $k_1 = k_2 = 0$. Имеем

$$\sigma' w = w'(1 - \sigma), \quad w = w_0 \quad \text{при } \sigma = 0 \quad (2.2)$$

Отсюда

$$w = \frac{w_0}{1 - \sigma}$$

Это решение справедливо, пока $\sigma_1 < \sigma_*$. Найдем значение $\sigma^{(1)}$ и соответствующий прогиб, при котором $\sigma_1 = \sigma_*$

$$\sigma^{(1)} = \frac{1}{2}(1 + \sigma_* + w_0 - \sqrt{(1 + \sigma_* + w_0)^2 - 4\sigma_*}), \quad w^{(1)} = w_0 / (1 - \sigma^{(1)})$$

2) Пусть $\sigma_1 > \sigma_*$; тогда $k_1 = 1$, но $|\sigma_2| < \sigma_*$, и $k_2 = 0$. Имеем

$$\sigma w \{1 + \alpha\} + \sigma' \alpha = w \{1 - \sigma(1 + \alpha)\}, \quad w = w^{(1)} \quad \text{при } \sigma = \sigma^{(1)}$$

Отсюда

$$w = \frac{\alpha(\sigma - \sigma^{(1)})}{1 - \sigma(1 + \alpha)} + \frac{w^{(1)} [1 - \sigma^{(1)}(1 + \alpha)]}{1 - \sigma(1 + \alpha)} \quad (2.3)$$

Можно показать, что при малых начальных прогибах $w_0 \sim 0.1$ напряжение $\sigma^{(2)}$, при котором

$$\sigma_2 = \sigma(1 - w) = -\sigma_*$$

удовлетворяет неравенствам

$$\sigma_t < \sigma^{(2)} < \sigma_k \quad \left(\sigma_k = \frac{2E_t}{E + E_t} \text{ напряжение Кармана} \right) \quad (2.4)$$

Сводка результатов некоторых вычислений приведена в таблице.

Неравенства (2.4) существенны для дальнейшего анализа. Дальше при $\sigma > \sigma^{(2)}$ строить квазистатическое решение нельзя, так как $k_1 = k_2 = 1$, поэтому имели бы

$$\sigma w \{1 + 2\alpha\} = w \{1 - \sigma(1 + 2\alpha)\}$$

$$w = w^{(2)} \quad \text{при } \sigma = \sigma^{(2)}$$

и так как $\sigma > \sigma_t$, то квадратная скобка в правой части отрицательна, и решение имело бы отрицательную скорость. В работе [10] показано, что здесь происходит нарушение равновесия.

3. Теперь исследуем такую задачу: стержень мгновенно нагружен до уровня $\sigma = \sigma_0$; выясним влияние величины σ_0 на выпучивание стержня при ползучести.

Нагружаем стержень силой $\sigma_0 = \sigma_t$, так как при этом $|\sigma_2| < \sigma_*$ (это видно из (2.4)), то $k_2 = 0$. Из (1.4) имеем

$$\frac{1}{\gamma} \left(\frac{E}{\lambda} \right)^n \sigma_0^n \{ (1 + w)^n - (1 - w)^n \} = w \{ 1 - \sigma_0(1 + \alpha) \} \quad (3.1)$$

$$w = w_1^{(2)} \Big|_{\sigma_0 = \sigma_t} \quad \text{при } t = 0$$

Это уравнение сохраняет силу до прогиба w_1^* , при котором

$$\sigma_2 = \sigma_t(1 - w_1^*) = -\sigma_*$$

Время достижения этого прогиба

$$t_1^* = [1 - \sigma_t(1 + \alpha)] \left(\frac{1}{\gamma} \left(\frac{E}{\lambda} \right)^n \sigma_t^n \right)^{-1} \int_{w_1^{(2)}}^{w_1^*} \frac{dw}{(1 + w)^n - (1 - w)^n}$$

При $w \geq w_1^*$ имеем $k_1 = 1$, $|\sigma_2| > \sigma_*$, $\sigma_2 = -\sigma_t w < 0$, и так как $\sigma_2 \sigma_2' > 0$, то $k_2 = 1$. Квадратная скобка справа обращается в нуль, и

$$w'(t_1^*) = \infty$$

Следовательно, при $t = t_1^*$ ($w = w_1^*$) имеем потерю устойчивости в смысле ХOFFA — ВЕУБЕКЕ (фиг. 3, а). Теперь будем нагружать стержень нагрузкой, равной $\sigma_0 = \sigma_t + \delta\sigma$, где $\delta\sigma$ — положительная или отрицательная величина.

а) $\delta\sigma < 0$. Имеем уравнение (3.1) с начальным условием

$$w = w_2^{(2)} \Big|_{\sigma_0 < \sigma_t} \quad \text{при } t = 0$$

Так же, как и выше, это уравнение сохраняет силу до определенного прогиба $w_2^*(t_2^*)$, при котором во втором стерженьке достигается предел текучести $\sigma_2 = -\sigma_*$; после этого уравнение имеет вид

$$\frac{1}{\gamma} \left(\frac{E}{\lambda} \right)^n \sigma_0^n \{ (1 + w)^n - (1 - w)^n \} = w [1 - \sigma_0(1 + 2\alpha)] \quad (3.2)$$

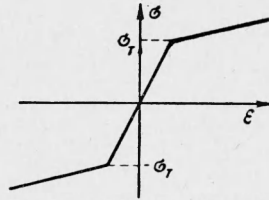
$$w = w_2^* \quad \text{при } t = t_2^*$$

Так как в квадратных скобках стоит положительная константа, то квазистатическая постановка сохраняет свою корректность при любой величине прогиба.

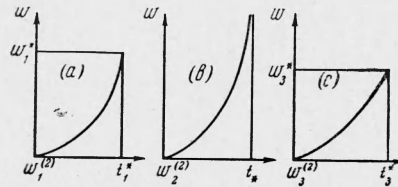
Имеем

$$t = \frac{\gamma}{\sigma_0^n} \left(\frac{\lambda}{E} \right)^n \left\{ [1 - \sigma_0 (1 + \alpha)] \int_{w_2^{(2)}}^{w_3^*} \frac{dw}{(1+w)^n - (1-w)^n} + \right. \\ \left. + [1 - \sigma_0 (1 + 2\alpha)] \int_{w_3^*}^w \frac{dw}{(1+w)^n - (1-w)^n} \right\}$$

При $w \rightarrow \infty$ и $n > 1$ интеграл сходится, и критическое значение $t_* = t(\infty)$, т. е. происходит потеря устойчивости в смысле достижения бесконечно большого прогиба (фиг. 3, б).



Фиг. 2



Фиг. 3

б) При $\delta\sigma > 0$ имеем уравнение (3.1), где $\sigma_0 > \sigma_t$. Начальным условием будет мгновенный прогиб $w_3^{(2)}$, соответствующий σ_0 . При $w = w_3^*$ имеем $\sigma_2 = -\sigma_*$. Достижение этого прогиба произойдет за время

$$t_3^* = \frac{\gamma}{\sigma_0^n} \left(\frac{\lambda}{E} \right)^n [1 - \sigma_0 (1 + \alpha)] \int_{w_3^{(2)}}^{w_3^*} \frac{dw}{(1+w)^n - (1-w)^n}$$

Так как при $w > w_3^*$ имеем $|\sigma_2| > \sigma_*$, то $k_2 = 1$, и выпучивание описывалось бы уравнением (3.2), причем в квадратных скобках справа стояла бы отрицательная константа

$$1 - \sigma_0(1 + 2\alpha) < 0$$

Отсюда видно, что при времени $t > t_3^*$ квазистатическое рассмотрение становится некорректным. Важно подчеркнуть, что

$$0 < w'(t_3^* - 0) < \infty \quad \text{при } t = t_3^*$$

Таким образом, кривая $w \sim t$ при $\sigma_0 = \sigma_t$ оказывается неустойчивой в том смысле, что при любом изменении мгновенно приложенной нагрузки характер выпучивания существенно изменяется.

Автор искренне благодарит Ю. Н. Работнова, Ю. В. Немировского и Л. М. Куршина за полезные обсуждения работы.

Поступила 18 III 1964

ЛИТЕРАТУРА

- Хофф Н. Продольный изгиб и устойчивость. Изд-во иностр. литер., 1956.
- Работнов Я. Н. The theory of creep and its applications. Plasticity, Pergamon Press, 1960.
- Шестериков А. С. О критерии устойчивости при ползучести. ПММ, 1959, т. 23, вып. 6.
- Куршин Л. М. Устойчивость стержней в условиях ползучести. ПМТФ, 1961, № 6.
- Хофф Н. Продольный изгиб при ползучести. Сб. Механика, 1956, № 6.
- Де-Веубеке Ф. Выпучивание при ползучести. Сб. Влияние высоких температур на авиаконструкции, Оборонгиз, 1961.
- Качанов Л. М. Теория ползучести. Физматгиз, 1960.
- Хофф Н. Динамика устойчивости упругих колонн. Сб. Механика, 1952, № 3.
- Шэнли Ф. Теория расчета стоек за пределами упругости. Анализ веса и прочности самолетных конструкций. Оборонгиз, 1957.
- Пановко Я. Г. О критической силе сжатого стержня в неупругой области. Инж. сб., 1954, т. 20.
- Пановко Я. Г. О современной концепции упруго-пластического продольного изгиба. Докл. на Всесоюзной конф. по проблемам устойчивости в строительной механике, Тезисы докл., М., 1963.